

Научные сообщения

705

Пусть e_1, e_2, \dots, e_n — собственные векторы матрицы A , соответствующие собственным числам $0 < m = \lambda_1 \leq \lambda_2 \leq \dots \leq \lambda_n = M$

$r_k = x_k - x^* = \sum_{i=1}^n \xi_i^{(k)} e_i$.

Оказывается, если числа α, β и γ выбрать по формулам

$$\alpha = \frac{(1+\varepsilon)^2}{M}, \quad \beta = \frac{\sqrt{M}-\sqrt{m}}{\sqrt{M}+\sqrt{m}} - 2 \frac{\sqrt{m}}{\sqrt{M}+\sqrt{m}} \varepsilon, \quad \gamma = -\frac{3-\varepsilon^2}{M}, \quad (5)$$

то каждая из координат $\xi_i^{(k)}$ вектора r_k будет исчезать со скоростью ρ_i^k ; здесь

$$\varepsilon = \rho_n \leq \rho_{n-1} \leq \dots \leq \rho_2 \leq \rho_1 = 1 - \sqrt{\frac{m}{M}}(1+\varepsilon). \quad (6)$$

Рассмотрим наиболее характерные случаи. Если мы решили полностью узажить координату ξ_n , то следует положить $\varepsilon = 0$. Итерационные формулы (4) примут вид

$$x_{k+1} = x_k - \frac{1}{M}(Ax_k - a) + \frac{\sqrt{M}-\sqrt{m}}{\sqrt{M}+\sqrt{m}} (x_k^1 - x_{k-1}) - \frac{1}{M} \frac{\sqrt{M}-\sqrt{m}}{\sqrt{M}+\sqrt{m}} (Ax_k - Ax_{k-1}),$$

или

$$x_{k+1} = (1+t) \left[x_k - \frac{1}{M}(Ax_k - a) \right] - t \left[x_{k-1} - \frac{1}{M}(Ax_{k-1} - a) \right],$$

где

$$t = \frac{\sqrt{M}-\sqrt{m}}{\sqrt{M}+\sqrt{m}}.$$

При этом $\rho_n = 0$ и $\rho_1 = 1 - \sqrt{m/M}$. Интересно отметить, что итерирование по формулам

$$x_{k+1} = x_k - \frac{1}{M}(Ax_k - a)$$

дает более медленную сходимость. Здесь $\rho_n = 0$ и $\rho_1 = 1 - m/M$.

Если добиваться равномерного сокращения координат r_k , то, согласно (6), следует найти ε из условия

$$\varepsilon = 1 - \sqrt{\frac{m}{M}}(1+\varepsilon),$$

откуда

$$\varepsilon = \frac{\sqrt{M}-\sqrt{m}}{\sqrt{M}+\sqrt{m}};$$

при этом, согласно формулам (5) и (6),

$$\rho_1 = \rho_n = \frac{\sqrt{M}-\sqrt{m}}{\sqrt{M}+\sqrt{m}}, \quad \alpha = \left(\frac{2}{\sqrt{M}+\sqrt{m}} \right)^2, \quad \beta = \left(\frac{\sqrt{M}-\sqrt{m}}{\sqrt{M}+\sqrt{m}} \right)^2, \quad \gamma = 0,$$

и мы возвращаемся к формулам (2) — (3). Оказалось, что увеличить быстроту сходимости процесса (2) за счет добавления слагаемого $\gamma(Ax_k - Ax_{k-1})$ невозможно. Более того, можно показать, что итерационный процесс, определяемый более общими формулами

$$x_{k+1} = x_k - \alpha(Ax_k - a) + \sum_{i=0}^m \beta_i A^i (x_k - x_{k-1}),$$

будет иметь самую высокую сходимость снова при

$$\alpha = \left(\frac{2}{\sqrt{M}+\sqrt{m}} \right)^2, \quad \beta_0 = \left(\frac{\sqrt{M}-\sqrt{m}}{\sqrt{M}+\sqrt{m}} \right)^2 \text{ и } \beta_i = 0, \quad i = 1, 2, \dots, m.$$

Возможны и другие значения коэффициентов β_i ($i = 0, 1, 2, \dots, m$), при которых будет достигаться та же скорость сходимости. Однако усилить ее за счет выбора чисел β_i уже невозможно.

Поступила в редакцию
9.10.1961

Цитированная литература

1. G. E. Forsythe. Solving linear algebraic equations can be interesting. Bull. Amer. Math. Soc., 1953, 59, № 4, 299—329.
2. В. К. Саульев. Интегрирование уравнений параболического типа методом сеток. М., Физматгиз, 1960.

ОЦЕНКА СНИЗУ НАИМЕНЬШЕГО ОТРИЦАТЕЛЬНОГО СОБСТВЕННОГО ЗНАЧЕНИЯ — λ^2 УРАВНЕНИЯ $\Delta u + [f(r) - \lambda^2] u = 0$

о. я. САВЧЕНКО
(Москва)

Для решения u дифференциального уравнения

$$\Delta u + [f(r) - \lambda^2] u = 0, \quad (1)$$

убывающего на бесконечности как $\exp \lambda r, \lambda < 0$, справедливо соотношение (см. [1]):

$$u(r_1) = \frac{1}{4\pi} \int \frac{|f(r_2)| \exp \lambda r_{12}}{r_{12}} dv. \quad (2)$$

Если $-\lambda^2$ — собственное значение уравнения (1), то u будет ограниченной функцией, и поэтому для любого r справедливы неравенства

$$|u| \leq |u|_{\max}, \quad (3)$$

$$|u| \leq \frac{1}{4\pi} |u|_{\max} \int \frac{|f(r_2)| \exp \lambda r_{12}}{r_{12}} dv, \quad (4)$$

$$|u| \leq \frac{1}{4\pi} |u|_{\max} \max \int \frac{|f(r_2)| \exp \lambda r_{12}}{r_{12}} dv. \quad (5)$$

Исно также, что

$$|u|_{\max} \leq \frac{1}{4\pi} |u|_{\max} \max \int \frac{|f(r_2)| \exp \lambda r_{12}}{r_{12}} dv \quad (6)$$

и, следовательно,

$$1 \leq \frac{1}{4\pi} \max \int \frac{|f(r_2)| \exp \lambda r_{12}}{r_{12}} dv. \quad (7)$$

Из (7) вытекает, что существует нижний предел значений $-\lambda^2$. Действительно, λ больше числа k , определяемого из уравнения

$$\frac{1}{4\pi} \max \int \frac{|f(r_2)| \exp kr_{12}}{r_{12}} dv = 1. \quad (8)$$

Таким образом, число k^2 , определенное из (8), оценивает снизу наименьшее собственное значение $-\lambda^2$.

Нетрудно показать, что если $|f(r)|$ — радиальная функция, монотонно не возрастающая с увеличением r , то интеграл в (8) достигает максимального значения при $r_1 = 0$, $r_{12} = r_2 = r$. Таким образом, для такой функции имеем

$$\frac{1}{4\pi} \max \int \frac{|f(r_2)| \exp kr_{12}}{r_{12}} dr = \int_0^\infty r |f(r)| \exp kr dr. \quad (9)$$

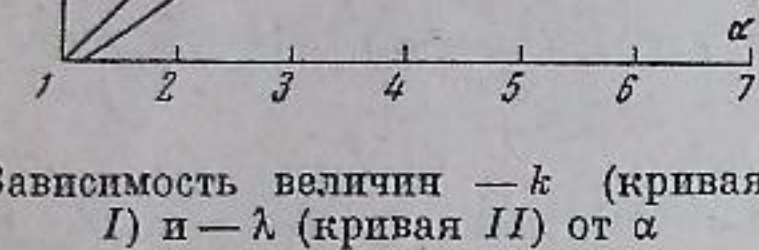
Отсюда

$$\int_0^\infty r |f(r)| \exp kr dr = 1. \quad (10)$$

Фигура иллюстрирует точность предлагаемой оценки для уравнения [(см. [2])]

$$\Delta u + [\alpha^2 \exp(-r) - \lambda^2] u = 0. \quad (11)$$

Поступила в редакцию
26.09.1961



Зависимость величин $-k$ (кривая I) и $-\lambda$ (кривая II) от α

1. А. Н. Тихонов, А. А. Самарский. Уравнения математической физики. М.-Л., Гостехиздат, 1951.
2. В. И. Коган, В. М. Галицкий. Оборник задач по квантовой механике. М., Гостехиздат, 1956.

Цитированная литература

1. А. Н. Тихонов, А. А. Самарский. Уравнения математической физики. М.-Л., Гостехиздат, 1951.
2. В. И. Коган, В. М. Галицкий. Оборник задач по квантовой механике. М., Гостехиздат, 1956.

О РАЗНОСТНЫХ СХЕМАХ ВТОРОГО ПОРЯДКА ТОЧНОСТИ ДЛЯ МНОГОМЕРНЫХ ЗАДАЧ

С. К. Годунов, А. В. Забродин

(Москва)

В этой заметке будет описан простой способ построения устойчивых разностных уравнений второго порядка точности для многомерных нестационарных задач. Мы разберем подробно двумерный случай.

Пусть решается уравнение

$$\frac{\partial U}{\partial t} = AU + BU,$$

где A и B — некоторые дифференциальные операторы, применяемые к вектору U . Если U в момент времени t представляет собой функцию двух переменных x и y , можно, например, считать, что оператор A содержит лишь дифференцирование по x , а оператор B — лишь дифференцирование по y .

Предположим, что для уравнений

$$\frac{\partial V}{\partial t} = AV, \quad \frac{\partial W}{\partial t} = BW$$

мы умеем построить разностные схемы второго порядка точности, т. е. операторы \tilde{A} и \tilde{B} такие, что

$$V(t + \tau) = \tilde{A}V(t) + o(\tau^3), \quad \|A\| \leq 1,$$

$$W(t + \tau) = \tilde{B}W(t) + o(\tau^3), \quad \|B\| \leq 1.$$

Построим оператор $\tilde{C} = \frac{1}{2} (\tilde{A}\tilde{B} + \tilde{B}\tilde{A})$. Очевидно, что $\|\tilde{C}\| \leq 1$. Легко также

$$U(t + \tau) = \tilde{C}U(t) + o(\tau^3).$$

$$\tilde{A} = E + \tau A + \frac{\tau^2}{2} A^2 + o(\tau^3),$$

$$\tilde{B} = E + \tau B + \frac{\tau^2}{2} B^2 + o(\tau^3).$$

Подставляя эти выражения в формулу для \tilde{C} , получим

$$\tilde{C} = E + \tau(A + B) + \frac{\tau^2}{2}(A + B)^2 + o(\tau^3).$$

В качестве примера рассмотрим линеаризованную систему уравнений газовой

$$\frac{\partial U}{\partial t} = AU + BU,$$

$$U = (u_x, u_y, p), \quad A = \begin{pmatrix} 0 & 0 & -\frac{\partial}{\partial x} \\ 0 & 0 & 0 \\ -\frac{\partial}{\partial x} & 0 & 0 \end{pmatrix}, \quad B = \begin{pmatrix} 0 & 0 & 0 \\ 0 & 0 & -\frac{\partial}{\partial y} \\ 0 & -\frac{\partial}{\partial y} & 0 \end{pmatrix}.$$

Построение оператора $\tilde{A}U$, т. е. разностной схемы для уравнения

$$\frac{\partial U}{\partial t} = AU. \quad (1)$$

Вместо U рассмотреть вектор $U^* = (u_x + p, u_y, u_x - p)$, то (1) примет вид

$$\frac{\partial U^*}{\partial t} = \begin{pmatrix} -\frac{\partial}{\partial x} & 0 & 0 \\ 0 & 0 & 0 \\ 0 & 0 & \frac{\partial}{\partial x} \end{pmatrix} U^*. \quad (2)$$

Частичное построение разностной схемы для уравнения (2) второго порядка точности и устойчивости при любом отношении шага по времени τ к шагам по пространству h_x, h_y можно взять, например, такую (под $(f)_{m,n}^l$ и т. д. понимаем значение соответствующей величины в точке сетки с координатами $l\tau, mh_x, nh_y$):

$$(u_x + p)_{m,n}^{l+1} = [(U + P)_{m,n}^{l+1/2} - (U + P)_{m-1,n}^{l+1/2}] \frac{\tau}{h_x} + (u_x + p)_{m,n}^l \quad (3)$$

$$(u_x - p)_{m,n}^{l+1} = [(U - P)_{m+1,n}^{l+1/2} - (U - P)_{m,n}^{l+1/2}] \frac{\tau}{h_x} + (u_x - p)_{m,n}^l$$

$$(u_y)_{m,n}^{l+1} = (u_y)_{m,n}^l$$

$$(U + P)_{m,n}^{l+1/2}, (U - P)_{m,n}^{l+1/2} \text{ определяются из следующих систем уравнений:}$$

$$\frac{(U + P)_{m,n}^{l+1/2} - (U + P)_{m-1,n}^{l+1/2}}{h_x} = -\frac{(U + P)_{m,n}^{l+1/2} - (u_x + p)_{m,n}^l}{\tau},$$

$$\frac{(U - P)_{m+1,n}^{l+1/2} - (U - P)_{m,n}^{l+1/2}}{h_x} = \frac{(U - P)_{m,n}^{l+1/2} - (u_x - p)_{m,n}^l}{\tau}.$$

Вернувшись в формулах (3) к компонентам вектора U , получим оператор $\tilde{B}U$. Оператор $\tilde{B}U$ строится по матрице B аналогичным способом. Отличие состоит в том, что переменная x и компонента u_x заменяются на y и u_y .